



Volume 15 | Issue 3

Article 9

2025-09-30

(Transmuted lower record type Rayleigh Pareto distribution) Proposal: Characteristics and Application

Osama Abdul Azeez Kadhim Al-Quraishi
Ministry of Education, ousamastat@gmail.com

Follow this and additional works at: <https://muthjaes.researchcommons.org/mjaes>

 Part of the Accounting Commons, Business Administration, Management, and Operations Commons, Finance Commons, Operations and Supply Chain Management Commons, and the Public Administration Commons

Recommended Citation

Al-Quraishi, Osama Abdul Azeez Kadhim (2025) "(Transmuted lower record type Rayleigh Pareto distribution) Proposal: Characteristics and Application," *Muthanna Journal of Administrative and Economics Sciences*: Vol. 15 : Iss. 3 , Article 9.

Available at:

This Article is brought to you for free and open access by Muthanna Journal of Administrative and Economics Sciences. It has been accepted for inclusion in Muthanna Journal of Administrative and Economics Sciences by an authorized editor of Muthanna Journal of Administrative and Economics Sciences. For more information, please contact Mjaes@mu.edu.iq.

(Transmuted lower record type Rayleigh Pareto distribution) Proposal: Characteristics and Application

Osama Abdul Azeez Kadhim Al-Quraishi

Ministry of Education

ABSTRACT

In many scientific applications, data follow a pattern indicating a rapid decline in the probability of survival over time. The Rayleigh Pareto distribution is often used to model these patterns, but it sometimes lacks sufficient accuracy in representing the points that occur at the beginning of failure. In the practical aspect, most people are exposed to sudden death as a result of respiratory infection, especially in old age, so we need distributions that are more consistent to solve these problems. The aim of the research is to study a new formula for the Rayleigh Pareto distribution by adding an additional parameter to its distribution function via the (Transmuted Lower Record) transformation map, so it becomes (Transmuted lower record type Rayleigh Pareto distribution) the transformer with three parameters and to derive the structural and statistical properties of the proposed distribution), and to estimate the distribution parameters using two estimation methods, namely (the Maximum Likelihood Method) and the Cramer-Von Mises Minimum Method). The Monte Carlo simulation method was employed to conduct Simulation experiments with different sample sizes, small (30), medium (100, 50) and large (150), were conducted to compare the methods of estimating parameters and the survival function estimated using the statistical criterion mean square error (MSE). The results showed the superiority of the maximum likelihood method in calculating the survival function estimates for the proposed new distribution (Transmuted lower log type Rayleigh Pareto distribution) at large and medium sample sizes, and the superiority of the Cramer von Mises method at small sample sizes. The study was applied to real data representing the survival times of people infected with respiratory tract infection, amounting to 110 patients. To compare the performance of the proposed distribution with the Rayleigh Pareto distribution using a real sample representing the survival times in hours for people infected with respiratory tract infection, comparison criteria (AIC, H-Q, BIC) were used. The superiority of the proposed distribution was reached, and the average percentage of the patient's stay in the hospital until death appeared (0.50) for an average survival period of (2.5) months.

Keywords: Record Based Transmuted Rayleigh Pareto Distribution

Received 23 June 2025; Revised 29 August 2025; Accepted 29 August 2025
Available online 30 September 2025

Corresponding author: Osama Abdul Azeez Kadhim Al-Quraishi
E-mail address: ousamastat@gmail.com

<https://doi.org/xx.xxxxxx/2572-5386.1499>

2572-5386/© 2025 Published by Muthanna Journal of Administrative and Economics Sciences (MJAES). This is an open access article under the CC BY 4.0 Licence (<https://creativecommons.org/licenses/by/4.0/>).

(توزيع باريتو رايلى من النوع القيذ الأدنى المحول) المقترن: الخصائص والتطبيق

أسامي عبد العزيز كاظم القربي

وزارة التربية

المستخلص

في العديد من التطبيقات العلمية تتبع البيانات نمطاً يشير إلى انخفاض سريع في احتمالية البقاء مع مرور الزمن توزيع (Rayleigh) Pareto (Pareto distribution) التي يستخدم غالباً لنماذجه هذه الاماط لكنه يفتقر أحياناً إلى الدقة الكافية في تمثيل النقاط التي تقع في بداية الفشل، وفي الجانب التطبيقي فإن أغلب الأشخاص عرضه للموت المفاجئ نتيجة الاصابة بالتهاب الجهاز التنفسى ولاسيما في السن المتقدم من الاعمار لذلك تحتاج إلى توزيعات تكون أكثر انسجاماً لحل تلك المشاكل، وهدف البحث إلى دراسة صيغة جديدة لتوزيع Rayleigh (Record Lower Transmuted) بالإضافة معلمة اضافية إلى دالته التوزيعية عن طريق خارطة التعويم (Record Lower Transmuted) ليصبح distribution Pareto Rayleigh type record lower Transmuted) والاحصائية للتوزيع المقترن)، وتقدير معلمات التوزيع بطريقة قوانين الامكان الاعظم (Likelihood Maximum)، وطريقة كريمر فون مايسز (Minimum Mises Von-Cramer of Method)، وقد تم توظيف اسلوب محاكاة مونت كارلو (Monte Carlo) لإجراء تجارب المحاكاة وأبحاجم عينات مختلفة صغيرة (30)، متوسطة (100,50)، وكبيرة (150) لغرض المقارنة بين طرائق التقدير المعلمات ودالة البقاء المقترنة عن طريق استعمال المعيار الاحصائي متوسط مربعات الخطأ (MSE)، اذ اظهرت النتائج افضلية طريقة الامكان الاعظم في حساب مقدرات دالة البقاء للتوزيع الجديد المقترن (Pareto Rayleigh type record lower Transmuted distribution) عند احجام العينات والكبيرة والمتوسطة ، وافضلية طريقة كريمر فون مايسز عند احجام العينات الصغيرة وتم تطبيق الدراسة على بيانات حقيقة تمثل اوقات البقاء للأشخاص المصابين بمرض التهاب الجهاز التنفسى وبواقع 110 مريض . مقارنة أداء التوزيع المقترن مع توزيع Rayleigh Pareto باستعمال عينة حقيقة تمثل اوقات البقاء بالساعات للأشخاص المصابين التهاب الجهاز التنفسى تم استخدام معايير المقارنة (BIC,Q-H,AIC) تم التوصل إلى افضلية التوزيع المقترن، وظهر نسبه متوسط بقاء المرض في المستشفى لحين الوفاة (0.50) ملدة بقاء متوسطها (2.5) شهر

الكلمات المفتاحية: طريقة الامكان الاعظم ، طريقة كريمر فون مايسز.

تم الاستلام في 23 يونيو 2025 ؛ تم المراجعة في 29 أغسطس 2025 ؛ تم القبول في 29 أغسطس 2025
متاح على الإنترنت 30 سبتمبر 2025

المؤلف المراسل: أسامي عبد العزيز كاظم القربي
عنوان البريد الإلكتروني: ousamastat@gmail.com

<https://doi.org/xx.xxxxx/2572-5386.1499>

2572-5386/© 2025 Published by Muthanna Journal of Administrative and Economics Sciences (MJAES). This is an open access article under the CC BY 4.0 Licence (<https://creativecommons.org/licenses/by/4.0/>).

1- المقدمة: (Introduction)

“ تستند جودة الإجراءات المستعملة في التحليل الإحصائي بصورة كبيرة على أنموذج مفترض أو توزيع احتمالي موثق ، وبسبب هذا بذلك جهود حثيثة من الباحثين لتطوير فئات متعددة من التوزيعات الاحتمالية القياسية، جنباً إلى جنب مع المنهجيات الإحصائية ذات الصلة، ورغم ذلك يوجد هناك العديد من المشاكل وعدم اتباع البيانات الحقيقية في توزيعها أيًّا من النماذج الاحتمالية الكلاسيكية. وتعد مرحلة وضع البيانات ضمن أنموذج علمي مدروس يناسبها من أهم مراحل التحليل الإحصائي التي تعتمد عليها بقية المراحل وتعتبر هذه المرحلة بمرحلة « نمذجة البيانات » والتي تستعمل لتوزيعات احتمالية معروفة لتمثيل البيانات والظواهر المدروسة.

وفي بحثنا تم الاعتماد على قاعدة record based transmuted (Balakrishnan and He) المقترنة من قبل الباحثين (record based transmuted) العديد من الابحاث السابقة التي اجريت على قاعدة record based transmuted (record-based transmuted model e) [9]، وبين مكانة هذه التوزيعات في الباحثان (Balakrishnan and M. He) مفهوم نظرية [9]، وبين ممكانة هذه التوزيعات في توفير طريق موحد للمشكلات التي تكون فيها البيانات المسجلة غير ناتجة عن تجربة غير مكررة وكذلك غير عشوائية ، في عام (2022) قدم الباحث Tanış صيغة جديدة للتوزيع دالة القوى (P TRANSMUTED LOWER RECORD TYPE POWER FUNCTION) ذات المعلمتان، اذا ناقش الباحثون بعض الخصائص الاحصائية[13]، في عام (2021) اقترح الباحثون (Tanış وآخرون) DISTRIBUTION في دراسته توزيعاً جديداً سمى توزيع (Transmuted Lower Record Type Fréchet Distribution) ذي الثلاث معلمات ، وناقشا بعض الخصائص الاحصائية والهيكلية للتوزيع المقترن مثل دالة الكثافة التجمعية والمخاطرة والبقاء والعزم حول الوسط الحسابي ودالة التوليد[12]، في عام (2022) اقترح الباحث (C) توزيعاً جديداً سمى توزيع (Transmuted lower record type inverse rayleigh) ذي المعلمتان ، وناقشا بعض الخصائص التوزيع الهيكلية والاحصائية مثل العزم الرايي والعزم حول الوسط الحسابي والاحصاءة المرتبطة ، وتم تقدير معلمات التوزيع المقترن بأستعمال خمس طرائق تقدير، في عام (2022) قدم كل من (Tanış&Saraçoğlu) بحثاً اقترحوا (Tansmuted Record Type exponential Distribution) فيه توزيع (Tansmuted Record Type Weibull Distribution) وتوزيع (Transmuted Record Type Weibull Distribution) التي يتمتعان بمزيد من المرونة في النمذجة للبيانات مع زيادة ونقصان دالة معدل الخطورة، اذ تم اشتقاق العديد من الخصائص التوزيعية الاحصائية للتوزيعات المقترن، وتم تقرير معلمات التوزيع غير المعرفة على وفق طريقة الامكان الاعظم وطريقة اندرسون[14]، نلاحظ من استعراضنا للدراسات السابقة مدى حداثة موضوع TRANSMUTED LOWER RECORD TYPE POWER FUNCTION (DISTRIBUTION) للتوزيعات الاحتمالية وعلى حد علم الباحث فقد لوحظ ندرة الدراسات العربية التي تناولت موضوع التحويل قيد الدراسة للتوزيعات لا سيما استعمال خارطة التحويل المقترنة من قبل (Balakrishnan and M. He) عام (2019). واستكمال للجهود المبذولة من قبل الباحثين قام الباحث ”في بناء توزيع احتمالي مقترن جيد يعرف بتوزيع Rayleigh Pareto“ record based transmuted Rayleigh Pareto distribution ذو ثلاث معلمات (p, a, è)، إذ تم دراسة واشتقاق بعض الخصائص الرياضية المرتبطة بالتوزيع المقترن ، اما في الجانب التجاري تم توظيف اسلوب المحاكاة مونت كارلو للمقارنة بين مقدرات طريقة الامكان الاعظم (Method likelihood Maximum) وطريقة كريمر فون مايسز لتقدير دالة البقاء باستعمال المقياس الاحصائي متعدد مربعات الخطاء (MSE) للمقارنة بين افضلية هذه طرائق المستعملة لتقدير دالة البقاء.“

2- مشكلة البحث: (Problem of Research)

- في العديد من التطبيقات العلمية تتبع البيانات نمطاً يشير إلى انخفاض سريع في احتمالية البقاء مع مرور الزمن توزيع (Rayleigh) (Pareto) التي يستخدم غالباً لنمذجة هذه الانماط لكنه يفتقر أحياناً إلى الدقة الكافية في تمثيل النقاط التي تقع في بداية الفشل .
- في الجانب التطبيقي فإن أغلب الأشخاص عرضه للموت المفاجئ نتيجة الاصابة بالتهاب الجهاز التنفسى ولاسيما في السن المتقدم من الاعمار لذلك تحتاج إلى توزيعات تكون أكثر انسجاماً لحل تلك المشاكل.

3- هدف البحث: (Aim of Research)

- اشتقاق الخصائص الهيكلية والاحصائية للتوزيع المقترن (Transmuted lower record type Rayleigh Pareto distribution).
- تقدير دالة البقاء لنمذج احتمالي (Transmuted lower record type Rayleigh Pareto distribution).
- الحصول على افضل طريقة من طرائق التقدير باستعمال المحاكاة.
- تطبيق الطريقة الأفضل في الجانب التجاري على عينة حقيقة من مرضى التهاب الجهاز التنفسى في محافظة كربلاء.

4- دالة البقاء: (Survival Function)

«أحد أساليب في علم الإحصاء هو تحليل البقاء على قيد الحياة، الذي يصف الموت في الكائنات الحية والفشل في لأنظمة والمكائن إضافة إلى استخداماتها في الجانب الحياني والجانب الطبي ويمكن تعريف وقت البقاء على انه حدوث حدث معين، كظهور مرض معين او الاستجابة الى العلاج معين او الانتكاسة او الموت، يتركز تحليل البقاء على قيد الحياة بشكل رئيسي على التنبؤ في تحديد احتمال المخاطر ويرمز لها بالرمز $S(t)$ ويمكن التعبير عنها رياضيا كالتالي» [2] :

$$S(t) = 1 - F(t) \quad (1)$$

$F(t)$: مُمْثِّل دَانَت انكثافت انتقام عِنْ انتراكم تِ نهمتغِّر انعشواي .
 t : مُمْثِّل زَمْن بقاء انكائن انج عهى قِي انجِيَّة

5- توزيع: Rayleigh pareto distribution

يعد توزيع (Rayleigh pareto distribution) من التوزيعات الإحصائية المستعملة بشكل واسع في مذكرة بيانات الحياة ودالة البقاء، وإن اكتشاف هذا التوزيع ساهم في تطور الإحصاء، لأهميته في العلوم الطبية والهندسية ، ومذكرة بيانات الوقت، ويعد أحد نماذج الفشل ، ان دالة الكثافة الاحتمالية للتوزيع تكون بالصيغة التالية:» [7]

$$f(x, \theta, \alpha) = \frac{\theta}{\alpha^\theta} x^{\theta-1} e^{-\left(\frac{x}{\alpha}\right)^\theta} ; x, \theta, \alpha > 0 \quad (2)$$

α : معلمة الشكل (Shape parameters).

θ : معلمة القياس (Scale parameter).

وأن دالة الكثافة التجميعية للتوزيع F.D.C تكتب بالصيغة التالية:

$$F(x, \theta, \alpha) = 1 - e^{-\left(\frac{x}{\alpha}\right)^\theta} ; x, \theta, \alpha > 0 \quad (3)$$

6- قاعدة: (Transmuted lower record type)

”ان منهجية (Transmuted lower record type) تستعمل على كافة التوزيعات دون قيود او شروط وتعتمد بالدرجة الأساسية على دالة الكثافة الاحتمالية (t) G ودالة الكثافة التراكمية التجميعية (x) $G(x)$ لتوليد العائلات التوزيعات في عام 2021 تم اقتراح خارطة التحويل (Transmuted lower record type) من قبل الباحثين (Balakrishnan and He) استناداً إلى فكرة خارطة تحويل الرتب التربيعية والتكتيعية وقد وجد أن هذا النظام الجديد يزيد من مرونة النماذج المحولة وهو قادر على تحليل البيانات الأكثر تعقيداً، على سبيل المثال البيانات المعقّدة ذات معدلات الخطير حيث توفر هذه المنهجية بناء التوزيعات وعليه تكون الدالة التراكمية على النحو التالي : [9]

$$F(x, p) = G(x) + p((1 - G(x)) \text{Log}(1 - G(x))) \quad 0 \leq p \leq 1 \quad (4)$$

حيث ان:

p : ممثل معلمة التحويل.

و باشتقاء الصيغة آنفًا نحصل على دالة الكثافة الاحتمالية (pdf) كالتالي:

$$f(x) = g(x) \left[1 - p - p \log(1 - G(x)) \right] \quad 0 \leq p \leq 1 \quad (5)$$

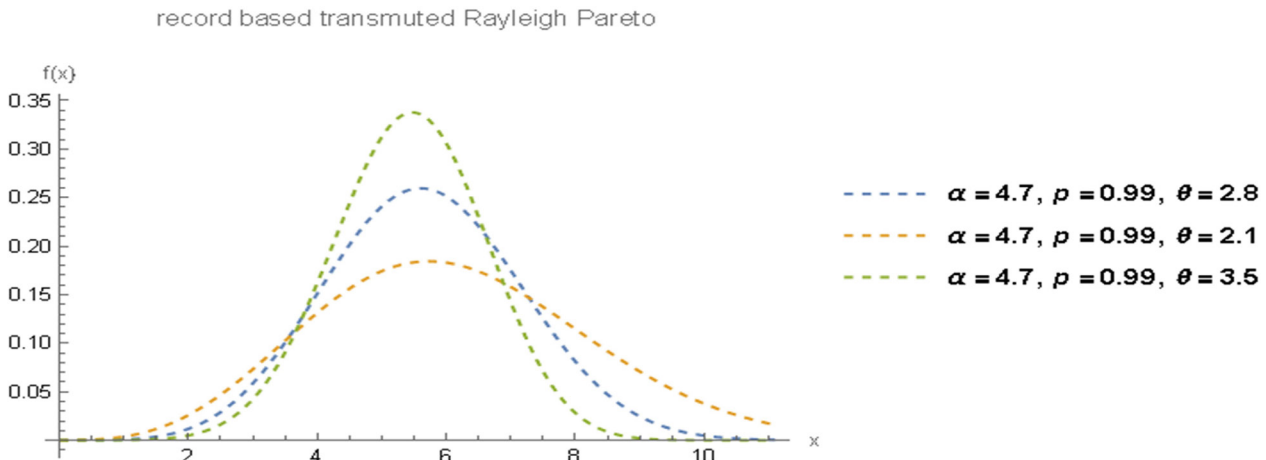
حيث أن:
 $g(x)$: تمثل دالة الكثافة الاحتمالية (p.d.f) للتوزيع الأساسي.

7- التوزيع المقترن (On record based transmuted Rayleigh Pareto distribution)

تم الحصول على دالة الكثافة للتوزيع المقترن وذلك بتعويض دالة الكثافة الاحتمالية و دالة الكثافة التراكمية للتوزيع Rayleigh Pareto (distribution) الموضح في المعادلة (2) و (3) باستعمال الصيغة المعرفة بالمعادلة (5) فنحصل على الدالة الاحتمالية الجديد للتوزيع المقترن كما في الصيغة الآتى :

$$f(x, \theta, \alpha, p) = \frac{\theta}{\alpha^\theta} x^{\theta-1} e^{-\left(\frac{x}{\alpha}\right)^\theta} \left[1 - p + p \left(\frac{x}{\alpha} \right)^\theta \right] \quad ; x, \theta, \alpha > 0, 0 < p < 1 \quad [7]$$

والشكل رقم (1) يوضح سلوك الدالة الاحتمالية للتوزيع الاحتمالي (record based transmuted Rayleigh Pareto distribution) وهو من اعداد الباحث.



شكل (1): يوضح سلوك الدالة الاحتمالية للنموذج الاحتمالي (record based transmuted Rayleigh Pareto distribution) من اعداد الباحث

ولثبتات ان دالة الكثافة للتوزيع المقترن على انها احتمالية وكالتالي:

$$\begin{aligned} \int_0^{\infty} f(x, \theta, \alpha, p) dx &= \int_0^{\infty} \frac{\theta}{\alpha^\theta} x^{\theta-1} e^{-\left(\frac{x}{\alpha}\right)^\theta} dx - \int_0^{\infty} p \frac{\theta}{\alpha^\theta} x^{\theta-1} e^{-\left(\frac{x}{\alpha}\right)^\theta} dx + \int_0^{\infty} p \frac{\theta}{\alpha^{2\theta}} x^{2\theta-1} e^{-\left(\frac{x}{\alpha}\right)^\theta} dx \\ &= 1 - p + \int_0^{\infty} \frac{\theta p}{\alpha^{2\theta}} x^{2\theta-1} e^{-\left(\frac{x}{\alpha}\right)^\theta} dx \end{aligned}$$

$$\begin{aligned}
&\text{let } u = \frac{x}{\alpha}, \quad x = u\alpha, \quad dx = \alpha du \\
&= 1 - p + \int_0^\infty \frac{\theta p}{\alpha^{2\theta}} (u\alpha)^{2\theta-1} e^{-(u)^{\theta}} \alpha du \\
&= 1 - p + \frac{\theta p \alpha^{2\theta} \alpha^{-1}}{\alpha^{2\theta}} \int_0^\infty (u)^{2\theta-1} e^{-(u)^{\theta}} \alpha du \\
&= 1 - p + \frac{\theta p}{\theta} \\
&= 1 - p + p \\
&= 1
\end{aligned}$$

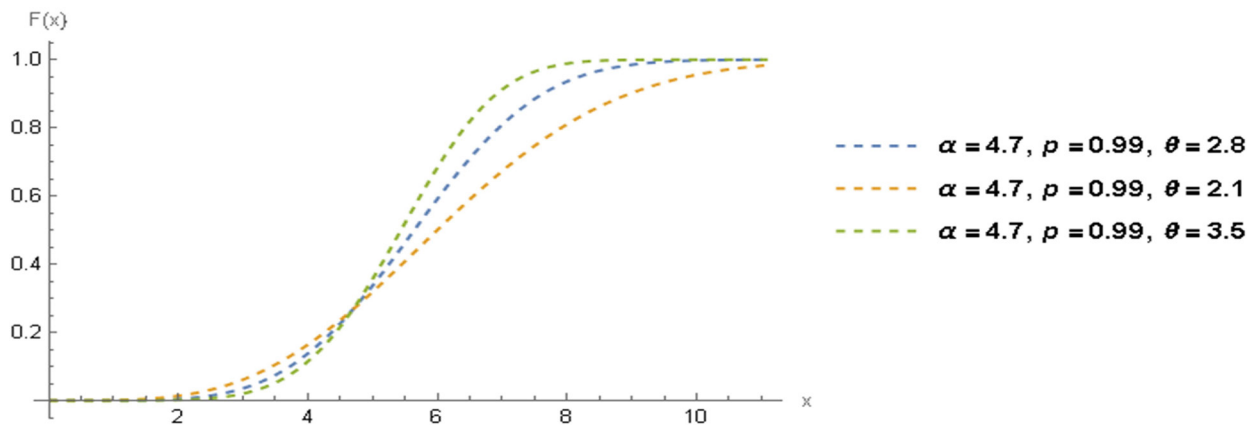
8- دالة الكثافة التجميعية للنموذج (record based transmuted Rayleigh Pareto distribution)

ويكن الحصول على دالة التوزيع التراكمية التجميعية للتوزيع المقترن عند تعويض معادلة (3) في المعادلة (4) وعليه تكون الدالة التراكمية للتوزيع المقترن : [1]

$$F(x, \theta, \alpha, p) = 1 - e^{-\left(\frac{x}{\alpha}\right)^{\theta}} - \left(\frac{x}{\alpha}\right)^{\theta} p e^{-\left(\frac{x}{\alpha}\right)^{\theta}} \quad ; x, \theta, \alpha, p > 0, 0 < p < 1 \quad (7)$$

والشكل رقم (2) يوضح سلوك الدالة الكثافة التجميعية التراكمية للنموذج الاحتمالي (record based transmuted Rayleigh Pareto distribution) وهو من اعداد الباحث.

CDF record based transmuted Rayleigh Pareto



شكل (2): يوضح سلوك الدالة الاحتمالية التراكمية للتوزيع الاحتمالي (record based transmuted Rayleigh Pareto distribution)

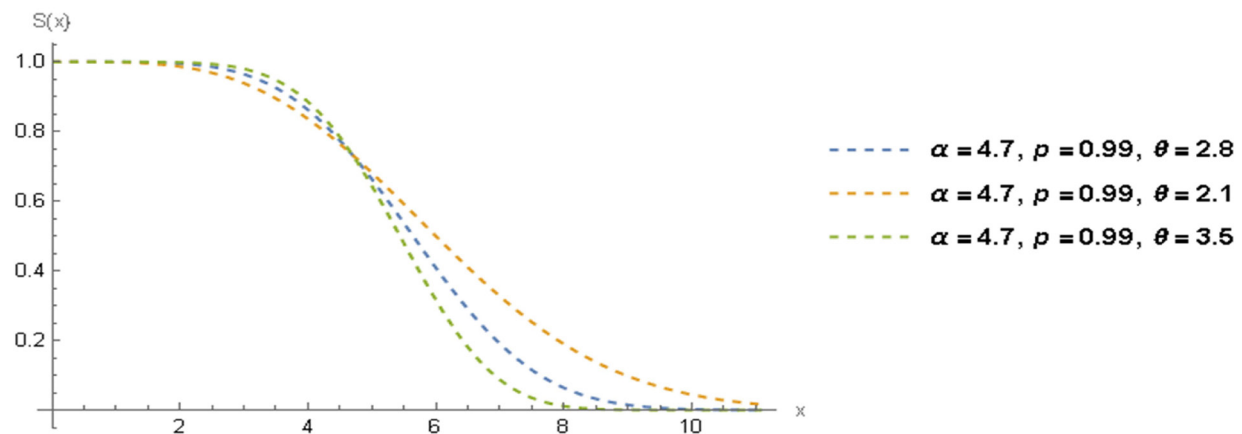
9- دالة البقاء للتوزيع (record based transmuted Rayleigh Pareto distribution)

$$S(x, \theta, \alpha, p) = 1 - F(x, \theta, \alpha, p) \quad (8)$$

$$S(x, \theta, \alpha, p) = 1 - \left(1 - e^{-\left(\frac{x}{\alpha}\right)^{\theta}} - \left(\frac{x}{\alpha}\right)^{\theta} p e^{-\left(\frac{x}{\alpha}\right)^{\theta}} \right)$$

والشكل رقم (3) يوضح سلوك دالة البقاء للتوزيع الاحتمالي (record based transmuted Rayleigh Pareto distribution) وهو من اعداد الباحث.

SurvivalFunctionrecord based transmuted Rayleigh Pareto



(record based transmuted Rayleigh Pareto distribution)

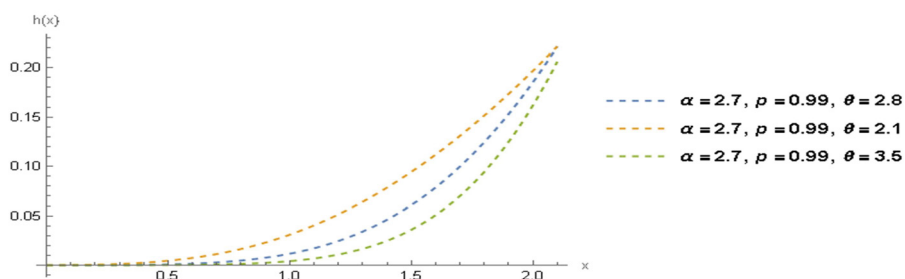
10- دالة المخاطرة البقاء لتوزيع [3] (record based transmuted Rayleigh Pareto distribution)

$$h(x, \theta, \alpha, p) = \frac{f(x, \theta, \alpha, p)}{S(x, \theta, \alpha, p)} \quad (9)$$

$$h(x, \theta, \alpha, p) = \frac{\frac{\theta}{\alpha} x^{\theta-1} e^{-\left(\frac{x}{\alpha}\right)^{\theta}} \left[1 - p + p \left(\frac{x}{\alpha}\right)^{\theta} \right]}{e^{-\left(\frac{x}{\alpha}\right)^{\theta}} + \left(\frac{x}{\alpha}\right)^{\theta} p e^{-\left(\frac{x}{\alpha}\right)^{\theta}}}$$

والشكل رقم (4) يوضح سلوك دالة المخاطرة للنموذج الاحتمالي (record based transmuted Rayleigh Pareto distribution) وهو من اعداد الباحث.

HazardFunctionrecord based transmuted Rayleigh Pareto



(record based transmuted Rayleigh Pareto distribution)

11- خصائص التوزيع (record based transmuted Rayleigh Pareto distribution)

[10] (Derivative of Central Moments) 1-11: اشتغال صيغة العزم المركزي:

$$\begin{aligned}
E(x - \mu)^r &= \int_0^{\infty} (x - \mu)^r x^r f(x, \theta, \alpha, p) dx \\
&= \int_0^{\infty} (x - \mu)^r \frac{\theta}{\alpha^\theta} x^{\theta-1} e^{-\left(\frac{x}{\alpha}\right)^\theta} dx - \int_0^{\infty} (x - \mu)^r p \frac{\theta}{\alpha^\theta} x^{\theta-1} e^{-\left(\frac{x}{\alpha}\right)^\theta} dx + \int_0^{\infty} (x - \mu)^r p \frac{\theta}{\alpha^{2\theta}} x^{2\theta-1} e^{-\left(\frac{x}{\alpha}\right)^\theta} dx \\
E(x - \mu)^r &= \sum_{j=0}^r \binom{r}{j} (-\mu)^{r-j} x^j \\
&= \sum_{j=0}^r \binom{r}{j} (-\mu)^{r-j} \int_0^{\infty} x^j \frac{\theta}{\alpha^\theta} x^{\theta-1} e^{-\left(\frac{x}{\alpha}\right)^\theta} dx - \sum_{j=0}^r \binom{r}{j} (-\mu)^{r-j} \int_0^{\infty} x^j p \frac{\theta}{\alpha^\theta} x^{\theta-1} e^{-\left(\frac{x}{\alpha}\right)^\theta} dx + \sum_{j=0}^r \binom{r}{j} (-\mu)^{r-j} \int_0^{\infty} x^j p \frac{\theta}{\alpha^{2\theta}} x^{2\theta-1} e^{-\left(\frac{x}{\alpha}\right)^\theta} dx \\
&= \sum_{j=0}^r \binom{r}{j} (-\mu)^{r-j} \left(\int_0^{\infty} \frac{\theta}{\alpha^\theta} x^{\theta-1+j} e^{-\left(\frac{x}{\alpha}\right)^\theta} dx - \int_0^{\infty} p \frac{\theta}{\alpha^\theta} x^{\theta-1+j} e^{-\left(\frac{x}{\alpha}\right)^\theta} dx + \int_0^{\infty} p \frac{\theta}{\alpha^{2\theta}} x^{2\theta-1+j} e^{-\left(\frac{x}{\alpha}\right)^\theta} dx \right) \\
\text{let } u = \frac{x}{\alpha}, \quad x = u\alpha, \quad dx = \alpha du \\
&= \sum_{j=0}^r \binom{r}{j} (-\mu)^{r-j} \left(\frac{\theta}{\alpha^\theta} \int_0^{\infty} (u\alpha)^{\theta-1+j} e^{-(u)^\theta} \alpha du - p \frac{\theta}{\alpha^\theta} \int_0^{\infty} (u\alpha)^{\theta-1+j} e^{-(u)^\theta} \alpha du + p \frac{\theta}{\alpha^{2\theta}} \int_0^{\infty} (u\alpha)^{2\theta-1+j} e^{-(u)^\theta} \alpha du \right) \\
&= \sum_{j=0}^r \binom{r}{j} (-\mu)^{r-j} \left(\frac{\theta}{\alpha^\theta} \int_0^{\infty} (u\alpha)^{\theta+j} e^{-(u)^\theta} du - p \frac{\theta}{\alpha^\theta} \int_0^{\infty} (u\alpha)^{\theta+j} e^{-(u)^\theta} du + p \frac{\theta}{\alpha^{2\theta}} \int_0^{\infty} (u\alpha)^{2\theta+j} e^{-(u)^\theta} du \right) \\
&= \sum_{j=0}^r \binom{r}{j} (-\mu)^{r-j} \left(\frac{\theta(\alpha)^{\theta+j}}{\alpha^\theta} \int_0^{\infty} (u)^{\theta+j} e^{-(u)^\theta} du - \frac{p\theta(\alpha)^{\theta+j}}{\alpha^\theta} \int_0^{\infty} (u)^{\theta+j} e^{-(u)^\theta} du + \frac{p\theta(\alpha)^{\theta+j}}{\alpha^{2\theta}} \int_0^{\infty} (u)^{2\theta+j} e^{-(u)^\theta} du \right) \\
&= \sum_{j=0}^r \binom{r}{j} (-\mu)^{r-j} \left(\frac{\theta(\alpha)^{\theta+j}}{\alpha^\theta} \left(\int_0^{\infty} (u)^{\theta+j} e^{-(u)^\theta} du - p \int_0^{\infty} (u)^{\theta+j} e^{-(u)^\theta} du + p \int_0^{\infty} (u)^{2\theta+j} e^{-(u)^\theta} du \right) \right) \\
&= \sum_{j=0}^r \binom{r}{j} (-\mu)^{r-j} \left(\frac{\theta(\alpha)^{\theta+j}}{\alpha^\theta} \left(\Gamma\left[\frac{1+j+\theta}{\theta}\right] - p\Gamma\left[\frac{1+j+\theta}{\theta}\right] + p\Gamma\left[\frac{1+j+2\theta}{\theta}\right] \right) \right) \\
E(x - \mu)^r &= \sum_{j=0}^r \binom{r}{j} (-\mu)^{r-j} \left(\frac{\theta(\alpha)^{\theta+j}}{\alpha^\theta} \left(\Gamma\left[\frac{1+j+\theta}{\theta}\right] - p\Gamma\left[\frac{1+j+\theta}{\theta}\right] + p\Gamma\left[\frac{1+j+2\theta}{\theta}\right] \right) \right); r = 1, 2, 3, \dots, n
\end{aligned}$$

Where $r=2$

$$E(x - \mu)^r = \sum_{j=0}^2 \binom{2}{j} (-\mu)^{2-j} \left(\frac{\theta(\alpha)^{\theta+j}}{\alpha^\theta} \left(\frac{\Gamma\left[\frac{1+j+\theta}{\theta}\right]}{\theta} - \frac{p\Gamma\left[\frac{1+j+\theta}{\theta}\right]}{\theta} + \frac{p\Gamma\left[\frac{1+j+2\theta}{\theta}\right]}{\theta} \right) \right)$$

$$\sigma^2 = \sum_{j=0}^2 \binom{2}{j} (-\mu)^{2-j} \left(\frac{\theta(\alpha)^{\theta+j}}{\alpha^\theta} \left(\frac{\Gamma\left[\frac{1+j+\theta}{\theta}\right]}{\theta} - \frac{p\Gamma\left[\frac{1+j+\theta}{\theta}\right]}{\theta} + \frac{p\Gamma\left[\frac{1+j+2\theta}{\theta}\right]}{\theta} \right) \right)$$

$$\sigma = \sqrt{\sum_{j=0}^2 \binom{2}{j} (-\mu)^{2-j} \left(\frac{\theta(\alpha)^{\theta+j}}{\alpha^\theta} \left(\frac{\Gamma\left[\frac{1+j+\theta}{\theta}\right]}{\theta} - \frac{p\Gamma\left[\frac{1+j+\theta}{\theta}\right]}{\theta} + \frac{p\Gamma\left[\frac{1+j+2\theta}{\theta}\right]}{\theta} \right) \right)}$$

Where $r=3$

$$E(x - \mu)^3 = \sum_{j=0}^3 \binom{3}{j} (-\mu)^{3-j} \left(\frac{\theta(\alpha)^{\theta+j}}{\alpha^\theta} \left(\frac{\Gamma\left[\frac{1+j+\theta}{\theta}\right]}{\theta} - \frac{p\Gamma\left[\frac{1+j+\theta}{\theta}\right]}{\theta} + \frac{p\Gamma\left[\frac{1+j+2\theta}{\theta}\right]}{\theta} \right) \right)$$

Where $r=4$

$$E(x - \mu)^4 = \sum_{j=0}^4 \binom{4}{j} (-\mu)^{4-j} \left(\frac{\theta(\alpha)^{\theta+j}}{\alpha^\theta} \left(\frac{\Gamma\left[\frac{1+j+\theta}{\theta}\right]}{\theta} - \frac{p\Gamma\left[\frac{1+j+\theta}{\theta}\right]}{\theta} + \frac{p\Gamma\left[\frac{1+j+2\theta}{\theta}\right]}{\theta} \right) \right)$$

The Coefficient of Variation 2-11: معامل الاختلاف

$$C \cdot V = \frac{\sigma}{\mu} \times 100\%$$

$$C.V = \frac{\sqrt{\sum_{j=0}^2 \binom{2}{j} (-\mu)^{2-j} \left(\frac{\theta(\alpha)^{\theta+j}}{\alpha^\theta} \left(\frac{\Gamma\left[\frac{1+j+\theta}{\theta}\right]}{\theta} - \frac{p\Gamma\left[\frac{1+j+\theta}{\theta}\right]}{\theta} + \frac{p\Gamma\left[\frac{1+j+2\theta}{\theta}\right]}{\theta} \right) \right)}}{\frac{\theta(\alpha)^{\theta+1}}{\theta\alpha^\theta} \left(\Gamma\left[\frac{2+\theta}{\theta}\right] - p\Gamma\left[\frac{2+\theta}{\theta}\right] + p\Gamma\left[\frac{2+2\theta}{\theta}\right] \right)} \quad (10)$$

(3-11): معامل الالتواء (The Coefficient of Skewness)

$$S \cdot K = \frac{\mu_3}{(\mu_2)^{\frac{3}{2}}}$$

$$S_k = \frac{\sum_{j=0}^3 \binom{3}{j} (-\mu)^{3-j} \left(\frac{\theta(\alpha)^{\theta+j}}{\alpha^\theta} \left(\frac{\Gamma\left[\frac{1+j+\theta}{\theta}\right]}{\theta} - \frac{p\Gamma\left[\frac{1+j+\theta}{\theta}\right]}{\theta} + \frac{p\Gamma\left[\frac{1+j+2\theta}{\theta}\right]}{\theta} \right) \right)}{\left[\sum_{j=0}^2 \binom{2}{j} (-\mu)^{2-j} \left(\frac{\theta(\alpha)^{\theta+j}}{\alpha^\theta} \left(\frac{\Gamma\left[\frac{1+j+\theta}{\theta}\right]}{\theta} - \frac{p\Gamma\left[\frac{1+j+\theta}{\theta}\right]}{\theta} + \frac{p\Gamma\left[\frac{1+j+2\theta}{\theta}\right]}{\theta} \right) \right) \right]^{3/2}} \quad (11)$$

(Coefficient Of Kurtosis)

4-11: معامل التفطح:

$$C \cdot K = \frac{\mu_4}{(\mu_2)^2}$$

$$C.K = \frac{\sum_{j=0}^4 \binom{4}{j} (-\mu)^{4-j} \left(\frac{\theta(\alpha)^{\theta+j}}{\alpha^\theta} \left(\frac{\Gamma\left[\frac{1+j+\theta}{\theta}\right]}{\theta} - \frac{p\Gamma\left[\frac{1+j+\theta}{\theta}\right]}{\theta} + \frac{p\Gamma\left[\frac{1+j+2\theta}{\theta}\right]}{\theta} \right) \right)}{\left[\sum_{j=0}^2 \binom{2}{j} (-\mu)^{2-j} \left(\frac{\theta(\alpha)^{\theta+j}}{\alpha^\theta} \left(\frac{\Gamma\left[\frac{1+j+\theta}{\theta}\right]}{\theta} - \frac{p\Gamma\left[\frac{1+j+\theta}{\theta}\right]}{\theta} + \frac{p\Gamma\left[\frac{1+j+2\theta}{\theta}\right]}{\theta} \right) \right) \right]^2} \quad (12)$$

5-11: أشتقاق صيغة العزم اللامركزي الرأي حول نقطة الأصل (Derivative of The Moment about origin)

$$E(x^r) = \mu'_r = \int_0^\infty x^r f(x, \theta, \alpha, p) dx$$

$$= \int_0^\infty x^r \frac{\theta}{\alpha^\theta} x^{\theta-1} e^{-\left(\frac{x}{\alpha}\right)^\theta} dx - \int_0^\infty x^r p \frac{\theta}{\alpha^\theta} x^{\theta-1} e^{-\left(\frac{x}{\alpha}\right)^\theta} dx + \int_0^\infty x^r p \frac{\theta}{\alpha^{2\theta}} x^{2\theta-1} e^{-\left(\frac{x}{\alpha}\right)^\theta} dx$$

$$= \int_0^\infty x^r \frac{\theta}{\alpha^\theta} x^{\theta-1} e^{-\left(\frac{x}{\alpha}\right)^\theta} dx - \int_0^\infty p \frac{\theta}{\alpha^\theta} x^{\theta-1} e^{-\left(\frac{x}{\alpha}\right)^\theta} dx + \int_0^\infty p \frac{\theta}{\alpha^{2\theta}} x^{2\theta-1} e^{-\left(\frac{x}{\alpha}\right)^\theta} dx$$

$$= \int_0^\infty \frac{\theta}{\alpha^\theta} x^{\theta-1+r} e^{-\left(\frac{x}{\alpha}\right)^\theta} dx - \int_0^\infty p \frac{\theta}{\alpha^\theta} x^{\theta-1+r} e^{-\left(\frac{x}{\alpha}\right)^\theta} dx + \int_0^\infty p \frac{\theta}{\alpha^{2\theta}} x^{2\theta-1+r} e^{-\left(\frac{x}{\alpha}\right)^\theta} dx$$

$$\text{let } u = \frac{x}{\alpha}, \quad x = u\alpha, \quad dx = \alpha du$$

$$\begin{aligned}
&= \frac{\theta}{\alpha^\theta} \int_0^\infty (u\alpha)^{\theta-1+r} e^{-(u)^\theta} \alpha du - p \frac{\theta}{\alpha^\theta} \int_0^\infty (u\alpha^{\theta-1+r}) e^{-(u)^\theta} \alpha du + p \frac{\theta}{\alpha^{2\theta}} \int_0^\infty (u\alpha)^{2\theta-1+r} e^{-(u)^\theta} \alpha du \\
&= \frac{\theta}{\alpha^\theta} \int_0^\infty (u\alpha)^{\theta+r} e^{-(u)^\theta} du - p \frac{\theta}{\alpha^\theta} \int_0^\infty (u\alpha)^{\theta+r} e^{-(u)^\theta} du + p \frac{\theta}{\alpha^{2\theta}} \int_0^\infty (u\alpha)^{2\theta+r} e^{-(u)^\theta} du \\
&= \frac{\theta(\alpha)^{\theta+r}}{\alpha^\theta} \int_0^\infty (u)^{\theta+r} e^{-(u)^\theta} du - p \frac{\theta(\alpha)^{\theta+r}}{\alpha^\theta} \int_0^\infty (u)^{\theta+r} e^{-(u)^\theta} du + p \frac{\theta(\alpha)^{2\theta+r}}{\alpha^{2\theta}} \int_0^\infty (u)^{2\theta+r} e^{-(u)^\theta} du \\
&= \frac{\theta(\alpha)^{\theta+r}}{\alpha^\theta} \left(\int_0^\infty (u)^{\theta+r} e^{-(u)^\theta} du - p \int_0^\infty (u)^{\theta+r} e^{-(u)^\theta} du + p \int_0^\infty (u)^{2\theta+r} e^{-(u)^\theta} du \right) \\
&= \frac{\theta(\alpha)^{\theta+r}}{\alpha^\theta} \left(\Gamma\left[\frac{1+r+\theta}{\theta}\right] - p\Gamma\left[\frac{1+r+\theta}{\theta}\right] + p\Gamma\left[\frac{1+r+2\theta}{\theta}\right] \right) \\
&; \dots (28) E(x^r) = \frac{\theta(\alpha)^{\theta+r}}{\theta\alpha^\theta} \left(\Gamma\left[\frac{1+r+\theta}{\theta}\right] - p\Gamma\left[\frac{1+r+\theta}{\theta}\right] + p\Gamma\left[\frac{1+r+2\theta}{\theta}\right] \right); r=1,2,3\dots n
\end{aligned}$$

Where $r=1$

$$E(x^1) = \frac{\theta(\alpha)^{\theta+1}}{\theta\alpha^\theta} \left(\Gamma\left[\frac{2+\theta}{\theta}\right] - p\Gamma\left[\frac{2+\theta}{\theta}\right] + p\Gamma\left[\frac{2+2\theta}{\theta}\right] \right)$$

Where $r=2$

$$E(x^2) = \frac{\theta(\alpha)^{\theta+2}}{\theta\alpha^\theta} \left(\Gamma\left[\frac{3+\theta}{\theta}\right] - p\Gamma\left[\frac{3+\theta}{\theta}\right] + p\Gamma\left[\frac{3+2\theta}{\theta}\right] \right)$$

Where $r=3$

$$E(x^3) = \frac{\theta(\alpha)^{\theta+3}}{\theta\alpha^\theta} \left(\Gamma\left[\frac{4+\theta}{\theta}\right] - p\Gamma\left[\frac{4+\theta}{\theta}\right] + p\Gamma\left[\frac{4+2\theta}{\theta}\right] \right)$$

Where $r=4$

$$E(x^4) = \frac{\theta(\alpha)^{\theta+4}}{\theta\alpha^\theta} \left(\Gamma\left[\frac{5+\theta}{\theta}\right] - p\Gamma\left[\frac{5+\theta}{\theta}\right] + p\Gamma\left[\frac{5+2\theta}{\theta}\right] \right)$$

[5] (Moment generating function) الدالة المولدة للعزوم 11-6:

$$M_x(x) = E(e^{tx}) = \int_0^{\infty} e^{tx} f(x, \theta, \alpha, p) dx$$

$$M_x(t) = \int_0^{\infty} \left(1 + tx + \frac{(tx)^2}{2!} + \dots + \frac{(tx)^r}{r!} \right) f(x, \theta, \alpha, p) dx$$

$$M_x(t) = \int_0^{\infty} \frac{t^r}{r!} x^r f(x, \theta, \alpha, p) dx$$

$$M_x(t) = \sum_{r=0}^{\infty} \frac{t^r}{r!} \mu'_r$$

$$M_x(t) = \sum_{r=0}^{\infty} \frac{t^r}{r!} \left(\frac{\theta(\alpha)^{\theta+r}}{\theta\alpha^\theta} \left(\Gamma\left[\frac{1+r+\theta}{\theta}\right] - p\Gamma\left[\frac{1+r+\theta}{\theta}\right] + p\Gamma\left[\frac{1+r+2\theta}{\theta}\right] \right) \right) \quad (13)$$

اما الدالة المميزة يمكن كتابتها حسب الصيغة الآتية: [6]

$$M_x(ti)_x = \sum_{r=0}^{\infty} \frac{ti^r}{r!} \left(\frac{\theta(\alpha)^{\theta+r}}{\theta\alpha^\theta} \left(\Gamma\left[\frac{1+r+\theta}{\theta}\right] - p\Gamma\left[\frac{1+r+\theta}{\theta}\right] + p\Gamma\left[\frac{1+r+2\theta}{\theta}\right] \right) \right) \quad (14)$$

12- طرائق تدبير معلمات التوزيع المقترن (record based transmuted Rayleigh Pareto distribution)

1- طريقة الإمكان الأعظم (ML: Maximum Likelihood Method)

«تعد هذه الطريقة من طرائق التقدير التقليدية المهمة في عملية التقدير واكثرها استخداماً كونها مقنن بخصائص جيدة منها الكفاية والثبات والاتساق وعدم التحيز وقليل التحيز، وتكون أكثر دقة عندما يكون حجم العينة كبير، وإن مبدأ وهدف هذه الطريقة هو إيجاد قيم تقديرية للمعلمات التي نريد تقديرها وذلك بجعل دالة الإمكان في نهايتها العظمى ويرمز لدالة الإمكان بالرمز (ML)، لتكن record based transmuted Rayleigh Pareto distribution مشاهدات عشوائية بحجم عينة n تتبع التوزيع المقترن (x_1, x_2, \dots, x_n)

فإن دالة الإمكان للمشاهدات يمكن صياغتها بالشكل الآتي»: [3] [10] [8]

$$Lf(x, \theta, \alpha, p) = \prod_{i=1}^n f(x_i, \theta, \alpha, p)$$

تعويض دالة الكثافة الاحتمالية للتوزيع (distribution Pareto Rayleigh transmuted based record) في الصيغة المذكورة آنفًا:

$$Lf(x, \theta, \alpha, p) = \prod_{i=1}^n \left(\frac{\theta}{\alpha^\theta} x^{\theta-1} e^{-\left(\frac{x}{\alpha}\right)^\theta} \left[1 - p + p \left(\frac{x}{\alpha} \right)^\theta \right] \right)$$

$$Lf(x, \theta, \alpha, p) = \left(\frac{\theta}{\alpha^\theta} \right)^n \prod_{i=1}^n \left(x^{\theta-1} e^{-\left(\frac{x}{\alpha}\right)^\theta} \left[1 - p + p \left(\frac{x}{\alpha} \right)^\theta \right] \right)$$

وبأخذ اللوغارتم لطفي الصيغة آنفًا نحصل على:

$$\log Lf(x, \theta, \alpha, p) = n \log[\theta] - \theta n \log[\alpha] + (\theta - 1) \sum_{i=1}^n \log[x_i] - \sum_{i=1}^n \log\left(\frac{x_i}{\alpha}\right)^{\theta} + \sum_{i=1}^n \log\left[1 - p + p\left(\frac{x_i}{\alpha}\right)^{\theta}\right] \quad (15)$$

وبأخذ المشتقة الجزئية الأولى للصيغة (15) آنفًا بالنسبة للمعلمات (θ, α, p) ومساواتها إلى الصفر نحصل على التالي :

$$\frac{\partial \log L}{\partial \gamma} \frac{\partial \ln(L)}{\partial \theta} = \left\{ \frac{n}{\theta} + n \log[x] - n \log\left(\frac{x}{\alpha}\right)^{\theta} + \frac{np\left(\frac{x}{\alpha}\right)^{\theta} \log\left(\frac{x}{\alpha}\right)}{1 - p + p\left(\frac{x}{\alpha}\right)^{\theta}} - n \log[\alpha] \right\} = 0 \quad (16)$$

$$\frac{\partial \ln(L)}{\partial \alpha} = \left\{ -\frac{npx\left(\frac{x}{\alpha}\right)^{-1+\theta} \theta}{\left(1 - p + p\left(\frac{x}{\alpha}\right)^{\theta}\right)\alpha^2} \right\} = 0 \quad (17)$$

$$\frac{\partial \ln(L)}{\partial p} = \left\{ \frac{n\left(-1 + \left(\frac{x}{\alpha}\right)^{\theta}\right)}{1 - p + p\left(\frac{x}{\alpha}\right)^{\theta}} \right\} = 0 \quad (18)$$

المعادلات (39) و(40) و(41) لا يمكن حلها بالطريق التحليلية الاعتيادية لأنها معادلات غير خطية ولذلك يتم حلها باستعمال الطريقة العددية (نيتون رافسن) للحصول على مقدرات معلمات التوزيع المقترن بطريقة الامكان الاعظم.

2-طريقة كريير فون مايسز (Method of Cramer-Von Mises Minimum)

قدم (Donald 1971) دليلاً تجريبياً على أن المقدر المتغير أصغر من الحد الأدنى للمقدرات الأخرى وذلك من خلال استعمال طريقة CVME وبالاعتماد على المقدرات الموجودة في الدالة التجميمية.

تعتمد طريقة كريير فون مايسز على مقدرات الحد الأدنى للمسافة اذ يمكننا الحصول على تقديرات المسافة الدنيا لطريقة Cramer Minimum Mises Von -Crammer وذلك بتقليل المسافة بين الدالة $c(\theta, \alpha, p)$ بالنسبة للمعلمات غير المعروفة ويكوننا الحصول على المقدرات وذلك بالاشتقاق الجزئي $c(\theta, \alpha, p)$ بالنسبة للمعلمات غير المعروفة ومساواتها إلى الصفر وكالاتي:[1]:

$$c(\theta, \alpha, p, x) = \frac{1}{12n} + \sum_{i=1}^n \left[F(\theta, \alpha, p, x) - \frac{2i-1}{2n} \right]^2 \quad (19)$$

اذ ان $F(\theta, \alpha, p, x)$ تمثل الدالة التجميمية لتوزيع record based transmuted Rayleigh Pareto distribution وبتطبيق المعادلة نحصل على:

$$c(\theta, \alpha, p, x) = \frac{1}{12n} + \sum_{i=1}^n \left[1 - e^{-\left(\frac{x}{\alpha}\right)^{\theta}} - \left(\frac{x}{\alpha}\right)^{\theta} p e^{-\left(\frac{x}{\alpha}\right)^{\theta}} - \frac{2i-1}{2n} \right]^2 \quad (20)$$

ولتصغير المسافة الدنيا يتم اشتراق جزئي بالنسبة للصيغة السابقة ومساواتها للصفر وحسب ما يأتي:
الاشتقاق بالنسبة α للحصول على المقدار $\hat{\alpha}_{Cvm}$ وكالاتي :

$$\frac{dc}{\alpha} = 2 \sum_{i=1}^n \left(1 - e^{-\left(\frac{x}{\alpha}\right)^{\theta}} - \frac{-1+2i}{2n} - e^{-\left(\frac{x}{\alpha}\right)^{\theta}} p\left(\frac{x}{\alpha}\right)^{\theta} \right) \left(\frac{e^{-\left(\frac{x}{\alpha}\right)^{\theta}} p x \left(\frac{x}{\alpha}\right)^{-1+\theta} \theta}{\alpha^2} - \frac{e^{-\left(\frac{x}{\alpha}\right)^{\theta}} x \left(\frac{x}{\alpha}\right)^{-1+\theta} \theta \text{Log}[e]}{\alpha^2} - \frac{e^{-\left(\frac{x}{\alpha}\right)^{\theta}} p x \left(\frac{x}{\alpha}\right)^{-1+2\theta} \theta \text{Log}[e]}{\alpha^2} \right) = 0 \quad (21)$$

الاشتقاق بالنسبة \hat{e} للحصول على المقدار \hat{e}_{Cvm} وكالاتي :

$$\frac{dc}{d\theta} = \left\{ 2 \sum_{i=1}^n \left[\left(\left(-e^{-\left(\frac{x}{\alpha}\right)^{\theta}} p\left(\frac{x}{\alpha}\right)^{\theta} \text{Log}\left[\frac{x}{\alpha}\right] + e^{-\left(\frac{x}{\alpha}\right)^{\theta}} \left(\frac{x}{\alpha}\right)^{\theta} \text{Log}[e] \text{Log}\left[\frac{x}{\alpha}\right] + e^{-\left(\frac{x}{\alpha}\right)^{\theta}} p\left(\frac{x}{\alpha}\right)^{2\theta} \text{Log}[e] \text{Log}\left[\frac{x}{\alpha}\right] \right) \right) \right] \right\} = 0 \quad (22)$$

الاشتقاق بالنسبة p للحصول على المقدار \hat{p}_{Cvm} وكالاتي :

$$\frac{dc}{dp} = \left\{ 2 \sum_{i=1}^n \left[e^{-\left(\frac{x}{\alpha}\right)^{\theta}} \left(1 - e^{-\left(\frac{x}{\alpha}\right)^{\theta}} - \frac{-1+2i}{2n} - e^{-\left(\frac{x}{\alpha}\right)^{\theta}} p\left(\frac{x}{\alpha}\right)^{\theta} \right) \left(\frac{x}{\alpha}\right)^{\theta} \right] \right\} = 0 \quad (23)$$

المعادلات (44) و(45) و(46) لا يمكن حلها بالطريق التحليلية الاعتيادية لأنها معادلات غير خطية ولذلك يتم حلها باستعمال الطريقة العددية (نيتون رفسن) للحصول على مقدرات معلمات التوزيع المقترن بطريقة الامكان الاعظم،

13- الجانب التجاري: (Simulation)

«يؤدي اسلوب المحاكاة في تمثيل الجوانب العملية دوراً مهماً في معالجة المشكلات وتنفيذها ولا سيما بعد التطور الواسع والكبير في مجال الحاسيبات الإلكترونية ما دفع الكثير من الباحثين الى إعتماد اسلوب المحاكاة في الكثير من البحوث التي تهدف الى دراسة سلوك أية مقدرات او احصاءات اختبار أو أنموذج أو توزيع احصائي نظراً لصعوبة معرفة ذلك نظرياً». [1] [9]

«اذا يتميز هذا الأسلوب بالدقة ويوفر للباحثين الكثير من الوقت والجهد والمثال لذلك يعتبر اسلوب من ويمكن تلخيص هذه الطريقة بالخطوات الآتية :

أولا- تحديد القيم الافتراضية: تم اختيار خمس حجوم للعينات وهي (30,50,100,150) واستخدمت قيم افتراضية للمعلمات فكانت كما في الجدول الآتي»:

جدول رقم (1): القيم الافتراضية لمعلمات التوزيع (record based transmuted Rayleigh Pareto distribution) التي تم اختيارها بالاعتماد على حدود الثقة العليا والسفلى

Experiment	θ	α	p
1	3	2	0.6
2	3	2.1	0.1

وعليه يمكن الحصول على نماذجين محاكاة وكالاتي :

النموذج الاول :

n	θ	α	p
30	3	2	0.6
50	3	2	0.6
100	3	2	0.6
150	3	2	0.6

النموذج الثاني :

n	θ	α	p
30	3	2.1	0.1
50	3	2.1	0.1
100	3	2.1	0.1
150	3	2.1	0.1

ثانياً- تكرار التجربة 1000 مرة.

ثالثاً - توليد المتغير العشوائي الذي يتوزع وفق النموذج (record based transmuted Rayleigh Pareto distribution) بثلاث معلمات .

ثالثاً-تقدير دالة البقاء للتوزيع المقترن (record based transmuted Rayleigh Pareto distribution) وذلك باستعمال طرائق التقدير المشار اليها.

رابعاً -المقارنة بين طرائق التقدير المستخدمة واختيار الطريقة الأفضل باستعمال المعيار الاحصائي متوسط مربعات الخطاء (MSE) والذي كلما تقل قيمة كلما كان المقدار افضل وتكتب صيغته كالاتي [3] :

$$MSE(\hat{S}(t_i)) = \frac{1}{L} \sum_{j=1}^{n_i} (\hat{S}_j(t_i) - S_j(t_i))^2$$

إذ أن:

L : قابل عدد مرات تكرار التجربة وهو (1000) مرة.

n_i : هي معبرة عن حدود المتغير (t_i) من الحد الادنى الى الحد الاعلى.

(\hat{S}): القيمة المقدرة لدالة البقاء وفق طرائق التقدير المستعملة.

t_i : ممثل أوقات البقاء لحين الفشل والتي تعتبر عينة ممثل التوزيع الاحتمالي (record based transmuted Rayleigh Pareto) distribution .

$S(t)$: دالة البقاء الحقيقية (الافتراضية) وهي في حالة تناقص.

($\hat{S}_{ML}(t)$): دالة البقاء المقدرة بطريقة الإمكان الأعظم لـ (1000) تجربة.

($\hat{S}_{cvm}(t)$): دالة البقاء المقدرة بطريقة العزوم لـ (1000) تجربة وهي في حالة تناقص,

وفي ما يلي نتائج تجارب المحاكات التي تم الحصول عليها باستخدام برنامج MATLAB :

جدول رقم (2): متوسط مربعات الخطاء لدالة البقاء لطرائق التقدير كافة وأحجام العينات للأنموذج الأول

Sample size	Performance				Best
	Methods				
	MLE	cvm			
30	MSE	0.05564534243	0.047315792	MLE	
50	MSE	0.03578932374	0.0384852583	MLE	
100	MSE	0.0147973194	0.0273802422	MLE	
150	MSE	0.0119163835	0.022759635	MLE	

جدول رقم (3): متوسط مربعات الخطاء لدالة البقاء لطرائق التقدير كافة وأحجام العينات للأنموذج الثاني

Sample size	Performance				Best
	Methods				
	MLE	cvm			
30	MSE	0.05592468	0.03932784	MLE	
50	MSE	0.04215357	0.05976427	MLE	
75	MSE	0.0331123	0.0364268	MLE	
100	MSE	0.02457824	0.02757429	MLE	

يتضح من الجدول (1),(2) ، ان طريقة (cvm) افضل عند العينات الصغيرة لامتلاكها اقل (Mse) ، بينما ظهرت طريقة (Mle) عند حجوم العينات المتوسطة والكبيرة هي الافضل لامتلاكها اصغر (mse) ، فضلاً عن ذلك نلاحظ تناقص قيم متوسط مربعات الخطاء MSE بزيادة حجم العينة التدريجي وهذا السلوك يتناقض مع خصائص هذا المعيار بكونه يتناقض مع زيادة حجم العينة

14- الجانب التطبيقي

«جمعت البيانات المتعلقة بالدراسة لعدد من المصابين بمرض التهاب الجهاز التنفسى من سجلات دائرة صحة محافظة القادسية قسم الحمييات والبالغ عددها (110) مشاهدة تمثل أوقات بقاء المرضى بالأشهر تحت المراقبة والعلاج لحين الوفاة اذا تم تبؤيب البيانات للأشخاص المصابين لغرض الحصول على أوقات الحياة (Survival Time) وذلك بطرح تاريخ الإصابة بالمرض من تاريخ الوفاة وكما يلي» :

جدول (4): يمثل اوقات البقاء لمرضى المصابين بمرض التهابات الجهاز التنفسى

5.9	5.2	4.6	4.1	3.79	3.2	2.75	2.55	2.35	1.49	1.24
5.9	5.4	4.7	4.2	3.8	3.25	2.8	2.55	2.35	1.49	1.24
6	5.5	4.7	4.25	3.85	3.3	2.83	2.6	2.37	1.5	1.31
6.05	5.55	4.7	4.25	3.9	3.5	2.85	2.6	2.4	1.5	1.38
6.1	5.55	4.85	4.27	3.9	3.5	2.87	2.65	2.4	1.52	1.38
6.2	5.6	4.9	4.3	4	3.55	2.9	2.65	2.45	1.52	1.38
6.25	5.65	5	4.3	4.05	3.6	2.95	2.68	2.48	1.55	1.4
6.3	5.7	5.1	4.35	4.05	3.7	3	2.7	2.49	2.1	1.42
6.35	5.75	5.1	4.4	4.07	3.75	3.1	2.7	2.5	2.1	1.45
6.6	5.85	5.1	4.5	4.1	3.77	3.1	2.75	2.5	2.3	1.45

14-1 اختبار حسن المطابقة: (Good ness of Fit)

لعرض معرفة أن البيانات الحقيقية تتبع التوزيع المقترن record based transmuted Rayleigh Pareto distribution فقد تم أستعمال اختبار حسن المطابقة (Good ness of Fit) وحسب الفرضية الاحصائية الآتية [2]:

H_0 : The data have record based transmuted Rayleigh Pareto distribution

H_1 : The data dont have record based transmuted Rayleigh Pareto distribution

ا: كما في الجدول التالي Chi-Squared¹⁰ وقد تم توضيح نتائج اختبار فرضية حسن المطابقة الفرضية باستعمال قانون

جدول (5): نتائج اختبار حسن المطابقة تم اجراء الاختبار وكانت قيمة

Distribution	χ^2_c	χ^2_t	Sig	Decision
OddChenFrecheDistribution	6.31	3.31	0.085153	Not Reject H_0

«نلحظ من الجدول (4) ان قيمة χ^2_c المحسوبة وفق الصيغة هي اكبر من الجدولية إذن لا نرفض فرضية العدم القائلة بأن البيانات تتوزع وفق النموذج record based transmuted Rayleigh Pareto distribution

معايير اختبار افضل توزيع (Criteria choosing, the best, distribution)

2-1-14-2 اختبار أكايكي^[2] :CIA

أن الصيغة العامة لأحصاءة معيار أكايكي

$$A IC = -2L(\hat{\theta} \setminus X) + 2P \quad (24)$$

: P : تمثل عدد المعلمات في دالة التوزيع الاحتمالية النظرية.

. L(\hat{\theta} \setminus X) : تمثل لوغاريتيم دالة الترجيح (Log Likelihood Function) مشاهدات بيانات العينة.

4-2-2 اختبار بيز أكايكي (Bayesian Akaike Test): BIC

أحدى معايير اختبار حسن المطابقة (GOF) ويرمز له اختصار (BIC) وأن صيغته العامة تكون كما يلي: [5]

$$BIC = -2L(\hat{\theta} \setminus x) + P \log(n) \quad (25)$$

$L(\hat{\theta} \setminus X)$: قابل لـ Log Likelihood Function (Log Likelihood Function) لـ مشاهدات بيانات العينة.

P: قابل عدد المعلمات في دالة التوزيع الاحتمالية النظرية.

n: قابل حجم العينة.

4-2-3 اختبار أكايكي المتسق (Consistent Akaike Information Criterion): CIAC

ان الصيغة لاختبار حسن المطابقة أكايكي المتسق [2] هي كما يلي: [3]

$$CAIC = -2L(\hat{\theta} \setminus x) + \frac{2nP}{n-P-1} \quad (26)$$

و ان

n: قابل حجم العينة.

قد تم توضيح نتائج الاختبارات التي تم ذكرها انفاً في جدول رقم (5) لمقارنة أداء التوزيع المقترن مع توزيع Rayleigh Pareto بأستعمال عينة حقيقة قابل اوقات البقاء بالساعات للأشخاص المصابين التهاب الجهاز التنفسى .

جدول (6): يبين معايير المفضلة بين التوزيع المقترن وتوزيع Rayleigh Pareto في تمثيل البيانات الحقيقية

dist	-2Logl			AIC	H-Q	BIC
	θ	α	p			
record based transmuted Rayleigh Pareto distribution	2.5	0.9	1.22	155.4643	165.4658	165.6764
Rayleigh Pareto	1.3	1.1		353.195	359.1951	359.6782
						410.1561

في المعايير الإحصائية هو اختبار أفضل توزيع احتمالي من بين مجموعات احصائية وهنالك عدة معايير والتي استعمل منها ثلاثة معايير الموضحة في المعادلة (39) و(40) و(41) لبيان إفضاليه هذا التوزيع ومن خلال النتائج وفي الجدول (6) تبين أن أفضل توزيع هو record based transmuted Rayleigh Pareto distribution لأنه يملك أقل قيمة للمعايير الثلاثة.

جدول (7): مقدرات الامكان الاعظم لـ دالة البقاء للبيانات الحقيقية

i	t _i	f(t)	F(t)	S(t)
1	1.24	0.050775	0.05986	0.996624
2	1.24	0.059176	0.05986	0.996624
3	1.31	0.061089	0.071944	0.98454
4	1.38	0.063083	0.083947	0.972537

5	1.38	0.065158	0.083947	0.972537
6	1.38	0.069552	0.083947	0.972537
7	1.4	0.071871	0.087392	0.969092
8	1.42	0.074273	0.090849	0.965635
9	1.45	0.07932	0.096062	0.960422
10	1.45	0.07932	0.096062	0.960422
11	1.49	0.081965	0.103069	0.953415
12	1.49	0.087491	0.103069	0.953415
13	1.5	0.09037	0.104832	0.951652
14	1.5	0.093325	0.104832	0.951652
15	1.52	0.096352	0.108372	0.948112
16	1.52	0.099452	0.108372	0.948112
17	1.55	0.099452	0.11372	0.942764
18	2.1	0.10262	0.220278	0.836206
19	2.1	0.109152	0.220278	0.836206
20	2.3	0.122912	0.262712	0.793772
21	2.35	0.130082	0.273571	0.782913
22	2.35	0.130082	0.273571	0.782913
23	2.37	0.130082	0.277939	0.778545
24	2.4	0.137401	0.284518	0.771966
25	2.4	0.144831	0.284518	0.771966
26	2.45	0.148575	0.295549	0.760935
27	2.48	0.15986	0.302205	0.754279
28	2.49	0.15986	0.304429	0.752055
29	2.5	0.15986	0.306657	0.749827
30	2.5	0.167373	0.306657	0.749827
31	2.55	0.174824	0.317836	0.738648
32	2.55	0.182165	0.317836	0.738648
33	2.6	0.18578	0.329081	0.727403
34	2.6	0.189349	0.329081	0.727403
35	2.65	0.189349	0.340384	0.7161
36	2.65	0.191467	0.340384	0.7161
37	2.68	0.192868	0.347192	0.709292
38	2.7	0.192868	0.35174	0.704744
39	2.7	0.196329	0.35174	0.704744
40	2.75	0.19997	0.363142	0.693342
41	2.75	0.200587	0.363142	0.693342
42	2.8	0.200587	0.374584	0.6819
43	2.83	0.200587	0.381466	0.675018
44	2.85	0.201132	0.386059	0.670425

45	2.87	0.201783	0.390657	0.665827
46	2.9	0.202916	0.397562	0.658922
47	2.95	0.202916	0.409084	0.6474
48	3	0.203058	0.42062	0.635864
49	3.1	0.203058	0.443707	0.612777
50	3.1	0.20352	0.443707	0.612777
51	3.2	0.20352	0.46677	0.589714
52	3.25	0.204641	0.478276	0.578208
53	3.3	0.204641	0.489756	0.566728
54	3.5	0.20502	0.535295	0.521189
55	3.5	0.205102	0.535295	0.521189
56	3.55	0.205102	0.546552	0.509932
57	3.6	0.20605	0.557747	0.498737
58	3.7	0.20605	0.579923	0.476561
59	3.75	0.206313	0.590893	0.465591
60	3.77	0.206313	0.595257	0.461227
61	3.79	0.207528	0.599607	0.456877
62	3.8	0.209488	0.601777	0.454707
63	3.85	0.215577	0.612569	0.443915
64	3.9	0.215577	0.623265	0.433219
65	3.9	0.21848	0.623265	0.433219
66	4	0.221281	0.644344	0.41214
67	4.05	0.221829	0.654719	0.401765
68	4.05	0.222911	0.654719	0.401765
69	4.07	0.223976	0.658836	0.397648
70	4.1	0.22656	0.664976	0.391508
71	4.1	0.231377	0.664976	0.391508
72	4.2	0.233601	0.685124	0.37136
73	4.25	0.234753	0.695005	0.361479
74	4.25	0.234753	0.695005	0.361479
75	4.27	0.235697	0.69892	0.357564
76	4.3	0.235697	0.704752	0.351732
77	4.3	0.241936	0.704752	0.351732
78	4.35	0.242731	0.714363	0.342121
79	4.4	0.243401	0.723832	0.332652
80	4.5	0.243401	0.742333	0.314151
81	4.6	0.243948	0.760232	0.296252
82	4.7	0.244137	0.777507	0.278977
83	4.7	0.244726	0.777507	0.278977
84	4.7	0.244726	0.777507	0.278977

85	4.85	0.245395	0.802212	0.254272
86	4.9	0.245909	0.810117	0.246367
87	5	0.246548	0.825425	0.231059
88	5.1	0.24675	0.840058	0.216426
89	5.1	0.246945	0.840058	0.216426
90	5.1	0.246945	0.840058	0.216426
91	5.2	0.247465	0.854009	0.202475
92	5.4	0.247465	0.879867	0.176617
93	5.5	0.247833	0.891779	0.164705
94	5.55	0.247833	0.897483	0.159001
95	5.55	0.248571	0.897483	0.159001
96	5.6	0.248571	0.903021	0.153463
97	5.65	0.248926	0.908395	0.148089
98	5.7	0.249157	0.913605	0.142879
99	5.75	0.249157	0.918653	0.137831
100	5.85	0.249426	0.928272	0.128212
101	5.9	0.249435	0.932847	0.123637
102	5.9	0.24959	0.932847	0.123637
103	6	0.24959	0.941536	0.114948
104	6.05	0.24977	0.945656	0.110828
105	6.1	0.249868	0.949629	0.106855
106	6.2	0.249868	0.957146	0.099338
107	6.25	0.249902	0.960695	0.095789
108	6.3	0.249958	0.964108	0.092376
109	6.35	0.24999	0.967387	0.089097
110	6.6	0.249991	0.981897	0.074587
sum	373.2900	18.55053	53.35092	55.78032
mean	2.4845	0.168641	0.50319	0.507094

نلاحظ من الجدول(7) ما يأقلي:

- ان العلاقة بين دالة البقاء (t) والزمن علاقة عكسية، كلما زاد الزمن قلت قيمة دالة البقاء وهذا ما نلاحظه بصورة واضحة في العمود الذي يمثل دالة البقاء، وان هذا السلوك يطابق سلوك دالة البقاء لكونها متناقصة مع الزمن.
- ان قيم cdf تكون متزايدة مع الزمن اي ان العلاقة بينهما تكون طردية وهذا ما نلاحظه في العمود الذي يمثل (t).F.
- متوسط أوقات البقاء هو (0.507094) اي ان احتمالبقاء المصاب بمرض الكبد على قيد الحياة هو 50 % تقريبا.
- قيم دالة الكثافة التجميعية (t) F تقع قيمها بين الصفر والواحد، وهي في تزايد وتتناسب طرديا مع الزمن.
- ان مجموع قيم دالة البقاء (t) S وقيم دالة الكثافة ال التجميعية CDF يساوي واحداً اي إن أحدهما متمم للأخر
- ان دالة البقاء (t) S كانت ما يقارب 99% ولكن بمرور الوقت فأن عدد الذين فارقوا الحياة قد ازداد ومن ثمًّ فان دالة البقاء قد انخفضت واصبحت قريبة من 7% عندما حصلت الوفاة (110).
- بالإمكان احتمال الحصول على احتمالبقاء المريض على قيد الحياة بعد مدة محددة من الزمن على سبيل المثال احتمال البقاء على قيد الحياة بعد الاسبوع الاول $P(t>1)= 0.836206$.

15- الاستنتاجات

- أظهرت نتائج تجارب المحاكاة ان طريقة الامكان الاعظم هي الأفضل لتقدير دالة البقاء بالنسبة لحجوم العينات المتوسطة والكبيرة.
- تناقص القيم الخاصة بالمقاييس الإحصائية متوسط مربعات التكامل (MSE) كلما زاد حجم العينة وهذا يطابق النظرية الإحصائية لهذا المؤشر.
- تناقص قيم دالة البقاء بزيادة الزمن (t) وهذا يطابق مع ما تم عرضه في الجانب النظري عن سلوك هذه الدالة.
- ظهر متوسط البقاء للمرضى في المستشفى (50%) لحين الوفاة بمتوسط وقت يساوي (2.5) شهر وهذه نسبة عالية

16- التوصيات

- استعمال أنواع جديدة من التوزيعات record based transmuted Rayleigh Pareto distribution وذاك لما تمتاز به هذه التوزيعات من مرونة وكفاءة عالية في تمثيل بيانات الوقت.
- استعمال طرائق تقدير أخرى مثل الطرائق البيزية لتقدير دالة البقاء.
- تطبيق النموذج الجديد المقترن record based transmuted Rayleigh Pareto distribution في الجوانب الهندسية والطبية والصناعية.
- الاهتمام بالحصول على البيانات مرض التهاب الجهاز التنفسي في جميع محافظات العراق لحساب دالة البقاء ودالة المخاطرة
- نوصي كادر مستشفى القادسية باخذ التدابير الازمة واعطاء الاولية لمرضى الجهاز التنفسي بسبب نسب الوفاة المرتفعة

الموافقة الأخلاقية
لا ينطبق

تضارب المصالح
يقر المؤلف بعدم وجود تضارب في المصالح

توفر البيانات
البيانات متوفرة لدى الباحث وسوف تقدم عند الطلب.

بيانات التمويل
لم يتلقى هذا البحث اي تمويل خارجي.

المصادر العربية

صالح ، احمد علوان، (2016)، «طرائق تقدير دالة المخاطرة للتوزيع مقارنة مع تطبيق عملي»، رسالة ماجستير ، قسم الاحصاء، كلية الادارة والاقتصاد، جامعة بغداد.

حافظ، علي ماضي، (2020).«بناء دالة احتمالية للتوزيع المختلط (الاسي -فريجيت) لتقدير دالة المخاطرة الضبابية»، رسالة ماجستير، كلية الادارة والاقتصاد - جامعة كربلاء.

نعمان، عبد الأئير (واخرون)، (2019) «مقارنة بين الطرائق الاعتيادية والبيزية لتقدير معلمة الشكل و دالة المخاطرة للتوزيع بور α ذو المعلمتين تحت دوال خسارة مختلفة» مجلـة الإدارـة والاقتـصاد -جامـعـة واسـطـ المـجلـد 42 العـدـد 119 ص 42-58.

سلمان ، محمد صادق ، (2020)، «بناء نموذج احتمالي للتوزيع دالة القوة الموسع لتقدير دالة المخاطرة الضبابية»، رسالة ماجستير في علوم الاحصاء - كلية الادارة والاقتصاد ، جامعة كربلاء بحث.

جاسم. خضر نصيف (2012) « مقارنة تقدير دالة المخاطرة للتوزيع الاسي المختلط مع تطبيق عملي « اطروحة دكتوراء ، كلية الادارة والاقتصاد بغداد .

الدرعي، مهدي علي عبد الحسين (2016) « بعض طرائق تقدير معلمات دالة المخاطرة لنموذج احتمالي مركب مع تطبيق عملي « رسالة ماجستير، كلية الادارة والاقتصاد جامعة بغداد.

المصادر الأجنبية

- jyothi, P. (2019). Reliability Computation of System Reliability for the New Rayleigh Pareto Distribution. International Journal of Science and Research (IJSR), 8(1), 2053–2055..
- Bashir, S., Qureshi, A. M., & Waseem, N. (2022). System reliability of the functions using Pareto-Rayleigh distribution. Communications in statistics-theory and methods, 51(23), 8130–8148..
- Balakrishnan, N., and M. He. 2019. A record-based transmuted model. Under Review. Advanceonline publication.
- Byrne, A. M., Bouchier-Hayes, D. J., & Harmey, J. H. (2005). Angiogenic and cell survival functions of vascular endothelial growth factor (VEGF). Journal of cellular and molecular medicine, 9(4), 777–794.
- Chan, R. H., Chow, S. C., Guo, X., & Wong, W. K. (2022). Central moments, stochastic dominance, moment rule, and diversification with an application. Chaos, Solitons & Fractals, 161, 112251.
- Tanış, C., Saracoğlu, B., Kuş, C., Pekgör, A., & Karakaya, K. (2021). Transmuted lower record type Fréchet distribution with lifetime regression analysis based on type I-censored data. Journal of Statistical Theory and Applications, 20(1), 86–96.
- Tanış, C. (2021). TRANSMUTED LOWER RECORD TYPE POWER FUNCTION DISTRIBUTION. Journal of Science and Arts, 21(4), 951–960.
- Tanış, C., & Saracoğlu, B. (2022). On the record-based transmuted model of balakrishnan and He based on weibull distribution. Communications in Statistics-Simulation and Computation, 51(8), 4204–4224.